

## *o-ZrW<sub>1.6</sub>Mo<sub>0.4</sub>O<sub>8</sub>·H<sub>2</sub>O* 正交相的合成与表征

黄令<sup>1</sup> 刘鹏辉<sup>1</sup> 马辉<sup>2</sup> 齐传民<sup>1</sup> 赵新华<sup>\*1</sup>

(<sup>1</sup> 北京师范大学化学系,北京 100875)

(<sup>2</sup> 北京师范大学分析测试中心,北京 100875)

关键词: ZrW<sub>1.6</sub>Mo<sub>0.4</sub>O<sub>8</sub>·H<sub>2</sub>O; 合成; 表征

中图分类号: O614.41<sup>+2</sup>; O614.61

文献标识码: A

文章编号: 1001-4861(2005)10-1531-04

### The Preparation and Characterization of Orthorhombic *o-ZrW<sub>1.6</sub>Mo<sub>0.4</sub>O<sub>8</sub>·H<sub>2</sub>O*

HUANG Ling<sup>1</sup> LIU Peng-Hui<sup>1</sup> MA Hui<sup>2</sup> QI Chuan-Min<sup>1</sup> ZHAO Xin-Hua<sup>\*1</sup>

(<sup>1</sup>Department of Chemistry, <sup>2</sup>Analyzing and Testing Center, Beijing Normal University, Beijing 100875)

**Abstract:** The precursor ZrW<sub>1.6</sub>Mo<sub>0.4</sub>O<sub>7</sub>(OH)<sub>2</sub>(H<sub>2</sub>O)<sub>2</sub> was characterized by IR and XRD methods.  $\delta'$ -ZrW<sub>1.6</sub>Mo<sub>0.4</sub>O<sub>8</sub> was prepared by careful controlling the annealing conditions from the precursor and was determined to have the formula as *o-ZrW<sub>1.6</sub>Mo<sub>0.4</sub>O<sub>8</sub>·H<sub>2</sub>O* by TG-DSC, IR, and XRD methods. The relation between *o-ZrW<sub>1.6</sub>Mo<sub>0.4</sub>O<sub>8</sub>·H<sub>2</sub>O* and *o-ZrW<sub>1.6</sub>Mo<sub>0.4</sub>O<sub>8</sub>* was discussed through variable temperature XRD patterns. Further more, the mechanism of the precursor dehydration was suggested.

**Key words:** ZrW<sub>1.6</sub>Mo<sub>0.4</sub>O<sub>8</sub>·H<sub>2</sub>O; preparation; characterization

ZrW<sub>2</sub>O<sub>8</sub> 在大约 0.3~1 050 K 如此宽的温度区间,始终具有各向同性的高的热收缩性质( $\alpha=-8.8 \times 10^{-6} \text{ K}^{-1}$ , 0~400 K;  $\alpha=-4.9 \times 10^{-6} \text{ K}^{-1}$ , 430~1 050 K)<sup>[1,2]</sup>。这种高的热收缩性质,为控制高膨胀陶瓷(例如氧化铝)的膨胀系数而又不破坏高膨胀陶瓷优异的技术性能提供了可能,因而引起科技领域的广泛关注。由于在化学性质上的相似性,立方 AM<sub>2</sub>O<sub>8</sub>(A:Zr, Hf; M:W, Mo)是类质同晶化合物。研究表明,立方 ZrMo<sub>2</sub>O<sub>8</sub> 从 11~660 K 始终具有  $\beta$ -ZrW<sub>2</sub>O<sub>8</sub> 的晶体结构,因此始终为各向同性的热收缩化合物 ( $\alpha=-5.0 \times 10^{-6} \text{ K}^{-1}$ )<sup>[3,4]</sup>。

钼的氧化物较易升华,不适宜使用固相法在高温合成 ZrMo<sub>2</sub>O<sub>8</sub> 和 ZrMo<sub>2-x</sub>W<sub>x</sub>O<sub>8</sub> 固溶体。因此水合前驱物热分解法是目前制备这类化合物最好的方法。

用水合前驱物脱水的方法已成功地制备了立方 ZrMo<sub>2</sub>O<sub>8</sub> 和 ZrMo<sub>2-x</sub>W<sub>x</sub>O<sub>8</sub> 固溶体<sup>[4-7]</sup>。在前驱物热分解制备立方 ZrMo<sub>2</sub>O<sub>8</sub> 化合物的过程中,正交晶系的介稳态 LT-ZrMo<sub>2</sub>O<sub>8</sub> 化合物作为中间相起着重要的作用<sup>[8]</sup>。由于 W 和 Mo 在晶体结构和化学性质上的相似性,ZrMo<sub>2-x</sub>W<sub>x</sub>O<sub>8</sub> 固溶体可以形成 ZrMo<sub>2</sub>O<sub>8</sub> 的类质同晶化合物。因此通过对前驱物 ZrW<sub>1.6</sub>Mo<sub>0.4</sub>O<sub>7</sub>(OH)<sub>2</sub>(H<sub>2</sub>O)<sub>2</sub> 的脱水制备了 *o-ZrW<sub>1.6</sub>Mo<sub>0.4</sub>O<sub>8</sub>* 化合物,以 LT-ZrMo<sub>2</sub>O<sub>8</sub> 为模型对 *o-ZrW<sub>1.6</sub>Mo<sub>0.4</sub>O<sub>8</sub>* 的 X 射线衍射数据进行 Rietveld 方法全谱拟合,拟合结果表明其空间群为 Pmn2<sub>1</sub>,晶胞参数为  $a=0.5917 \text{ nm}$ ,  $b=0.7273 \text{ nm}$ ,  $c=0.9148 \text{ nm}$ <sup>[9]</sup>。研究发现,LT-ZrMo<sub>2-x</sub>W<sub>x</sub>O<sub>8</sub> 在空气中极易吸水转变成  $\delta'$ -ZrMo<sub>2-x</sub>W<sub>x</sub>O<sub>8</sub> 相。我们曾利用粉末 X 射线衍射技术(XRD)和电子衍射技术(ED)对

收稿日期:2005-03-06。收修改稿日期:2005-05-23。

国家自然科学基金(No.20471010,20371009)和北京市无机化学重点学科项目资助。

\*通讯联系人。E-mail:xinhuaz@bnu.edu.cn

第一作者:黄令,女,25岁,博士生;研究方向:热致收缩化合物。

$\delta'$ -ZrW<sub>1.6</sub>Mo<sub>0.4</sub>O<sub>8</sub> 的晶体结构进行了指标化<sup>[10]</sup>。本文在此基础上运用 FTIR 和 TGA-DSC 方法对  $\delta'$ -ZrW<sub>1.6</sub>Mo<sub>0.4</sub>O<sub>8</sub> 相进一步进行表征, 结果表明,  $\delta'$ -ZrW<sub>1.6</sub>Mo<sub>0.4</sub>O<sub>8</sub> 相的化学组成为 ZrW<sub>1.6</sub>Mo<sub>0.4</sub>O<sub>8</sub>·H<sub>2</sub>O, 同时进一步揭示了水合前驱物热分解制备立方热收缩化合物 c-ZrW<sub>1.6</sub>Mo<sub>0.4</sub>O<sub>8</sub> 的反应机理。

## 1 实验部分

### 1.1 水合前驱物 ZrW<sub>1.6</sub>Mo<sub>0.4</sub>O<sub>7</sub>(OH)<sub>2</sub>(H<sub>2</sub>O)<sub>2</sub> 及 ZrW<sub>1.6</sub>Mo<sub>0.4</sub>O<sub>8</sub>·H<sub>2</sub>O 的制备

原料 Na<sub>2</sub>WO<sub>4</sub>·2H<sub>2</sub>O、Na<sub>2</sub>MoO<sub>4</sub>·2H<sub>2</sub>O、ZrOCl<sub>2</sub>·8H<sub>2</sub>O 均为分析纯试剂, 其结晶水通过重量分析测定。根据原料实际的式量计算反应物的物质的量, 按照 ZrW<sub>1.6</sub>Mo<sub>0.4</sub>O<sub>8</sub> 的化学计量比, 用浓度分别为  $C_{\text{Zr}^{+4}}=0.5 \text{ mol}\cdot\text{L}^{-1}$ ,  $C_{[\text{W}^{6+}+\text{Mo}^{6+}]}=1.0 \text{ mol}\cdot\text{L}^{-1}$  的溶液制备前驱物。前驱物 ZrW<sub>1.6</sub>Mo<sub>0.4</sub>O<sub>7</sub>(OH)<sub>2</sub>(H<sub>2</sub>O)<sub>2</sub> 按照文献<sup>[11]</sup>的步骤制备。产物离心分离的母液用于 ICP-AES(仪器型号: JY, VLTIMA, France) 测量金属离子的含量。将前驱物在 733 K 加热 48 h, 然后在马弗炉中自然冷却至室温, 得到 ZrW<sub>1.6</sub>Mo<sub>0.4</sub>O<sub>8</sub>·H<sub>2</sub>O。

### 1.2 仪器与测试条件

晶体的 X 射线衍射数据在 Rigaku Dmax-3A 衍射仪(Cu K $\alpha$  辐射, Ni 滤波)上收集。扫描范围( $2\theta$ )10°~120°, 扫描步长( $2\theta$ )0.02°, 每步收集数据时间为 4 s。在仪器上添加高温装置得到变温衍射数据, Ar 气氛保护。K 型热电偶放置在样品架旁边测量样品的准确温度。采用 GSAS 软件包<sup>[12]</sup>中的 Rietveld 方法和 Le Bail 方法对有关的 XRD 谱图进行了全谱拟合。Nicolet Avatar 360 红外光谱仪, KBr 压片测定红外光谱。TGA-DSC(Netzsch Sta 409C; Ar 气作为载气, 30~700 °C, 20 °C·min<sup>-1</sup> 升温)测定热分析数据。比重瓶排除正癸烷法测定固体的密度。正癸烷经过精馏, 收集 168~170 °C 的稳定馏分。参照水的密度  $\rho_{\text{H}_2\text{O}}^{35}=0.9941 \text{ g}\cdot\text{cm}^{-3}$ , 测定正癸烷在(35.00±0.02) °C 的密度为(0.7195±0.0001) g·cm<sup>-3</sup>。

## 2 结果与讨论

### 2.1 ZrW<sub>1.6</sub>Mo<sub>0.4</sub>O<sub>7</sub>(OH)<sub>2</sub>(H<sub>2</sub>O)<sub>2</sub> 的表征

通过 ICP-AES 方法测定水合前驱物母液中金属离子 Zr、W、Mo 的浓度均小于反应物金属离子浓度的 1%, 验证了水合前驱物中金属元素的物质的量之比为  $n_{\text{Zr}}:n_{\text{W}}:n_{\text{Mo}}=1:1.6:0.4$ 。因此可以确定前驱物金属元素的组成与投料比基本相符。ZrW<sub>1.6</sub>Mo<sub>0.4</sub>O<sub>7</sub>(OH)<sub>2</sub>(H<sub>2</sub>O)<sub>2</sub>

(OH)<sub>2</sub>(H<sub>2</sub>O)<sub>2</sub> 的 FTIR 光谱(见图 1)与 ZrMo<sub>2</sub>O<sub>7</sub>(OH)<sub>2</sub>(H<sub>2</sub>O)<sub>2</sub> 的 IR 光谱相似: $3233.1 \text{ cm}^{-1}$ ,  $1652.4 \text{ cm}^{-1}$ ( $3320 \text{ cm}^{-1}$ ,  $1665 \text{ cm}^{-1}$ )<sup>[11]</sup> 分别为 H<sub>2</sub>O 的伸缩振动和弯曲振动。 $3326.0 \text{ cm}^{-1}$  ( $3340 \text{ cm}^{-1}$ )<sup>[11]</sup> 为羟基的伸缩振动。

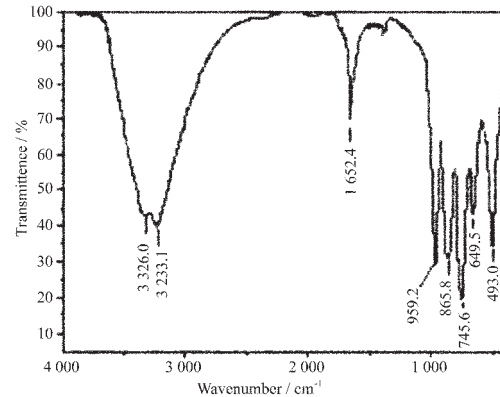


图 1 前驱物 ZrW<sub>1.6</sub>Mo<sub>0.4</sub>O<sub>7</sub>(OH)<sub>2</sub>(H<sub>2</sub>O)<sub>2</sub> 的红外光谱图

Fig.1 FTIR spectrum of ZrW<sub>1.6</sub>Mo<sub>0.4</sub>O<sub>7</sub>(OH)<sub>2</sub>(H<sub>2</sub>O)<sub>2</sub>

由于 W<sup>6+</sup> 和 Mo<sup>6+</sup> 的有效离子半径基本相同, 根据晶体学原理, 以 ZrMo<sub>2</sub>O<sub>7</sub>(OH)<sub>2</sub>(H<sub>2</sub>O)<sub>2</sub> 的晶体结构为结构模型<sup>[11]</sup>, 并且假设 W 随机地按照化学式中金属 W/Mo 的比率占据了 Mo 的位置, 使用 GSAS 程序运用 Rietveld 方法对 ZrW<sub>1.6</sub>Mo<sub>0.4</sub>O<sub>7</sub>(OH)<sub>2</sub>(H<sub>2</sub>O)<sub>2</sub> 的 XRD 图进行了全谱拟合。所拟合的参数包括: 峰型函数(pseudo-voigt)参数、仪器零点参数、数据标度参数、晶胞参数、择优取向参数、基线多项式参数、金属原子晶格位置的坐标和 W/Mo 在晶格位置的占有率、金属原子各向同性的温度因子。精化的结果是:  $R_p=7.12\%$ ;  $R_{wp}=8.79\%$ ; 空间群:  $I4_1cd$ ; 晶胞参数  $a=1.14245(5) \text{ nm}$ ,  $c=1.24619(7) \text{ nm}$ 。W/Mo 在晶格位置的占有率为 83(2)/17(2)%。Mo/W 晶格位置

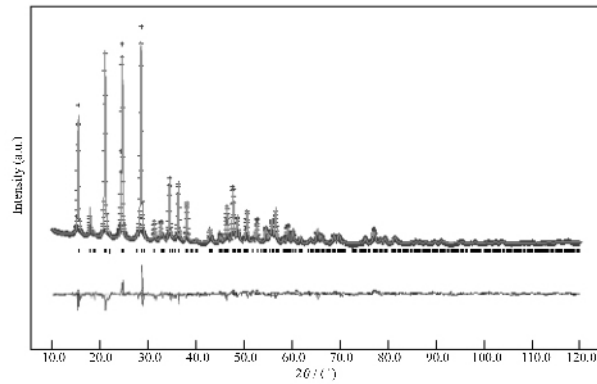


图 2 前驱物 ZrW<sub>1.6</sub>Mo<sub>0.4</sub>O<sub>7</sub>(OH)<sub>2</sub>(H<sub>2</sub>O)<sub>2</sub> 的 XRD 图

Fig.2 Powder XRD patterns of ZrW<sub>1.6</sub>Mo<sub>0.4</sub>O<sub>7</sub>(OH)<sub>2</sub>(H<sub>2</sub>O)<sub>2</sub>. Cross: Observed; full line: calculated; the lower plot shows their differences; tick marks indicate the allowed reflection.

( $16b:x,y,z$ ) 的坐标为:  $0.0167(2), 0.1638(2)$  和  $0.2223(3)$ , Zr 的晶格位置( $8a:0,0,z$ )的坐标为:  $0,0,-0.014(2)$ 。全谱拟合结果见图 2, 结果表明  $\text{ZrW}_{1.6}\text{Mo}_{0.4}\text{O}_7(\text{OH})_2(\text{H}_2\text{O})_2$  与  $\text{ZrMoO}_7(\text{OH})_2(\text{H}_2\text{O})_2$  为类质同晶化合物。

## 2.2 $\text{o-ZrW}_{1.6}\text{Mo}_{0.4}\text{O}_8\cdot\text{H}_2\text{O}$ 的表征

XRD 和 ED 分析表明  $\delta'\text{-ZrW}_{1.6}\text{Mo}_{0.4}\text{O}_8$  为正交晶系, 根据 X 射线衍射的系统消光规律, 推断其可能的空间群为  $Pnnm(58)$  或  $Pnn2(34)$ , 晶胞参数  $a=0.8969$  nm,  $b=0.7011$  nm,  $c=0.596$  nm<sup>[10]</sup>。以文献值<sup>[10]</sup>为初始值, 用 Le Bail 方法对  $\delta'\text{-ZrW}_{1.6}\text{Mo}_{0.4}\text{O}_8$  正交相的 XRD 谱图拟合, 拟合结果的晶胞参数与文献值基本相同:  $a=0.896(5)$  nm,  $b=0.703(4)$  nm,  $c=0.597(3)$  nm;  $V=0.3760$  nm<sup>3</sup>。在相结构分析的基础上, 对  $\delta'\text{-ZrW}_{1.6}\text{Mo}_{0.4}\text{O}_8$  进行了 FTIR 光谱分析(图 3)。FTIR 光谱表明, 与  $\text{ZrW}_{1.6}\text{Mo}_{0.4}\text{O}_7(\text{OH})_2(\text{H}_2\text{O})_2$  不同,  $\delta'\text{-ZrW}_{1.6}\text{Mo}_{0.4}\text{O}_8$  相中含有结晶水的红外吸收( $3427.4\text{ cm}^{-1}$ ,  $1636.7\text{ cm}^{-1}$ ), 但是不含有羟基的红外吸收。

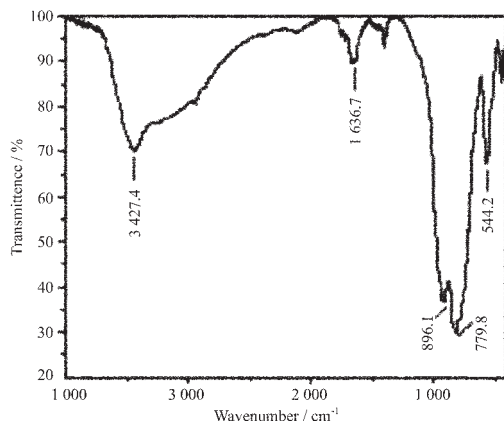


图 3  $\text{o-ZrW}_{1.6}\text{Mo}_{0.4}\text{O}_8\cdot\text{H}_2\text{O}$  的红外光谱图

Fig.3 FTIR spectrum of  $\text{o-ZrW}_{1.6}\text{Mo}_{0.4}\text{O}_8\cdot\text{H}_2\text{O}$

图 4 的 TG-DSC 的曲线表明,  $\delta'\text{-ZrW}_{1.6}\text{Mo}_{0.4}\text{O}_8$  在 441 K 有 3.49% 的失重, 相当于  $\text{ZrW}_{1.6}\text{Mo}_{0.4}\text{O}_8\cdot\text{H}_2\text{O}$  失

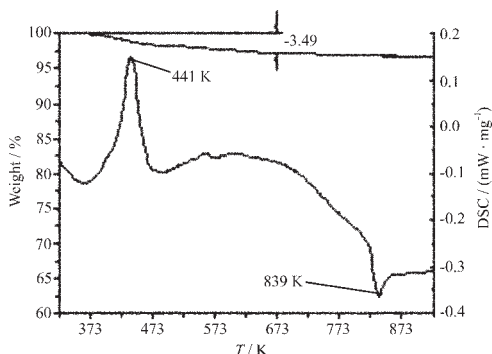


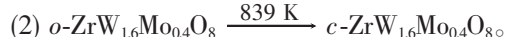
图 4  $\text{o-ZrW}_{1.6}\text{Mo}_{0.4}\text{O}_8\cdot\text{H}_2\text{O}$  的 TG-DSC 图谱

Fig.4 TG-DSC curve of  $\text{o-ZrW}_{1.6}\text{Mo}_{0.4}\text{O}_8\cdot\text{H}_2\text{O}$

去一个结晶水, 生成  $\text{ZrW}_{1.6}\text{Mo}_{0.4}\text{O}_8$  的过程。因此所谓  $\delta'\text{-ZrW}_{1.6}\text{Mo}_{0.4}\text{O}_8$  正交相的化学式为  $\text{o-ZrW}_{1.6}\text{Mo}_{0.4}\text{O}_8\cdot\text{H}_2\text{O}$ 。比重瓶排除正癸烷法测定  $\text{o-ZrW}_{1.6}\text{Mo}_{0.4}\text{O}_8\cdot\text{H}_2\text{O}$  在  $(35.00\pm0.02)$  °C 的密度为  $(4.750\pm0.001)$  g·cm<sup>-3</sup>。

## 2.3 讨论

由前驱物  $\text{ZrW}_{1.6}\text{Mo}_{0.4}\text{O}_7(\text{OH})_2(\text{H}_2\text{O})_2$  热分解制备立方  $\text{c-ZrW}_{1.6}\text{Mo}_{0.4}\text{O}_8$  要经过两个过程<sup>[9]</sup>:



对前驱物热分解的分析表明: 在通常条件下前驱物加热失水不易直接得到  $\text{o-ZrW}_{1.6}\text{Mo}_{0.4}\text{O}_8\cdot\text{H}_2\text{O}$ 。 $\text{o-ZrW}_{1.6}\text{Mo}_{0.4}\text{O}_8$  为介稳态化合物<sup>[9]</sup>, 在马弗炉中缓慢退火至室温或在空气中放置的过程中, 都将逐渐结合空气中的水蒸气, 转变为  $\text{o-ZrW}_{1.6}\text{Mo}_{0.4}\text{O}_8\cdot\text{H}_2\text{O}$ 。

$\text{o-ZrW}_{1.6}\text{Mo}_{0.4}\text{O}_8\cdot\text{H}_2\text{O}$  与  $\text{o-ZrW}_{1.6}\text{Mo}_{0.4}\text{O}_8$  在 XRD 谱图上的差别明显地表现为,  $\text{o-ZrW}_{1.6}\text{Mo}_{0.4}\text{O}_8\cdot\text{H}_2\text{O}$  具有分立的(002)衍射( $29.910^\circ$ )和(121)衍射( $31.144^\circ$ ), 而在 473 K 转变为  $\text{o-ZrW}_{1.6}\text{Mo}_{0.4}\text{O}_8$  后,  $\text{o-ZrW}_{1.6}\text{Mo}_{0.4}\text{O}_8$  的(200)( $30.184^\circ$ )和(121)( $30.437^\circ$ )衍射在  $30.325^\circ$  发生重叠, 使峰的半高宽增宽( $\text{FWHM}=0.34^\circ$ ), 见图 5)。

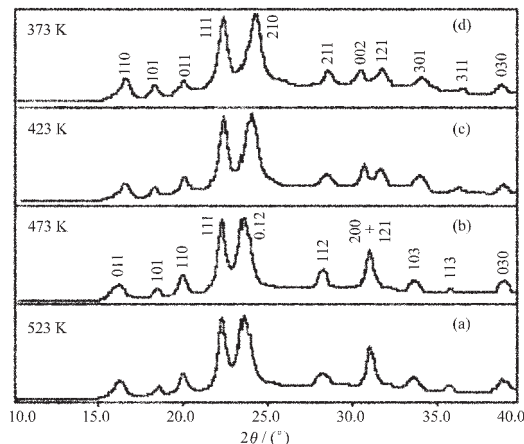
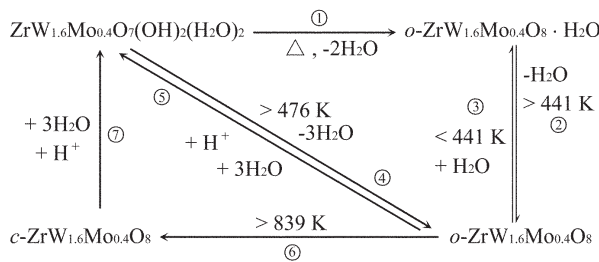


图 5  $\text{o-ZrW}_{1.6}\text{Mo}_{0.4}\text{O}_8$  (a), (b) 和  $\text{o-ZrW}_{1.6}\text{Mo}_{0.4}\text{O}_8\cdot\text{H}_2\text{O}$  (c), (d) 的变温 XRD 关系图

Fig.5 Dependence of XRD patterns of  $\text{o-ZrW}_{1.6}\text{Mo}_{0.4}\text{O}_8$  (a), (b) and  $\text{o-ZrW}_{1.6}\text{Mo}_{0.4}\text{O}_8\cdot\text{H}_2\text{O}$  (c), (d) on temperature

DSC 曲线(图 4)与变温 XRD 的结果(图 5)表明  $\text{o-ZrW}_{1.6}\text{Mo}_{0.4}\text{O}_8\cdot\text{H}_2\text{O}$  在 441 K 脱水后, 又转变为  $\text{o-ZrW}_{1.6}\text{Mo}_{0.4}\text{O}_8$  正交相<sup>[9]</sup>。因此  $\text{o-ZrW}_{1.6}\text{Mo}_{0.4}\text{O}_8\cdot\text{H}_2\text{O}$  与  $\text{o-ZrW}_{1.6}\text{Mo}_{0.4}\text{O}_8$  之间存在以下可逆平衡:  $\text{o-ZrW}_{1.6}\text{Mo}_{0.4}\text{O}_8\cdot\text{H}_2\text{O} \xrightleftharpoons[<441\text{ K}]{>441\text{ K}} \text{o-ZrW}_{1.6}\text{Mo}_{0.4}\text{O}_8 + \text{H}_2\text{O} (\text{g})$ 。综

合文献<sup>[9,10]</sup>与本文的研究结果,水合前驱物热分解制备立方热收缩化合物  $c\text{-ZrW}_{1.6}\text{Mo}_{0.4}\text{O}_8$  存在如下反应过程:



由于反应①和④的脱水温度十分接近,准确的反应①的脱水温度还有待于进一步研究。

### 3 结 论

(1) 综合 ICP-AES 方法对化合物金属元素的组成分析,XRD 的物相分析和结构分析,FTIR 以及 TG-DSC 对组成水的分析结果,对  $\delta'\text{-ZrW}_{1.6}\text{Mo}_{0.4}\text{O}_8$  进一步表征,其化学式为  $o\text{-ZrW}_{1.6}\text{Mo}_{0.4}\text{O}_8 \cdot \text{H}_2\text{O}$ 。

(2) 水合前驱物  $\text{ZrW}_{2-x}\text{Mo}_x\text{O}_7(\text{OH})_2(\text{H}_2\text{O})_2$  热分解制备热收缩  $c\text{-ZrW}_{2-x}\text{Mo}_x\text{O}_8$  化合物的过程可以分为脱水阶段和晶型转变阶段。对于  $\text{ZrW}_{1.6}\text{Mo}_{0.4}\text{O}_7(\text{OH})_2(\text{H}_2\text{O})_2$ ,在小于 476 K 主要发生脱水反应,而在大于 476 K 主要发生晶型转变反应。本文制备了中间相  $o\text{-ZrW}_{1.6}\text{Mo}_{0.4}\text{O}_8 \cdot \text{H}_2\text{O}$  并表征了其脱水过程。

### 参 考 文 献:

- [1] Mary T A, Evans J S O, Vogt T, et al. *Science*, **1996**, *272*: 90~92
- [2] Evans J S O, Mary T A, Vogt T, et al. *Chem. Mater.*, **1996**, *8*: 2809~2823
- [3] Lind C, Wilkinson A P, Hu Z, et al. *Chem. Mater.*, **1998**, *10*: 2335~2337
- [4] Lind C, VanDerveer D G, Wilkinson A P, et al. *Chem. Mater.*, **2001**, *13*: 487~490
- [5] ZHANG Shan-Ying(张山鹰), ZHAO Xin-Hua(赵新华), MA Hui(马 辉), et al. *Zhongguo Huaxue(Chinese J. Chem.)*, **2000**, *18*(4): 571~575
- [6] Closmann C, Sleight A W. *J. Solid State Chem.*, **1998**, *139*: 424~426
- [7] Evans J S O, Hanson P A, Ibberson R M, et al. *J. Am. Chem. Soc.*, **2000**, *122*: 8694~8699
- [8] Allen S, Warmingham N R, Gover R K B, et al. *Chem. Mater.*, **2003**, *15*: 3406~3410
- [9] ZHAO Xin-Hua(赵新华), HUANG Ling(黄 令), LIU Peng-Hui(刘鹏辉), et al. *Zhongguo Huaxue(Chinese J. Chem.)*, **2003**, *21*(21): 1529~1531
- [10] ZHAO Xin-Hua(赵新华), WANG Qi(王 琦), MA Hui(马 辉). *Gaodeng Xuexiao Huaxue Yanjiu(Chem. Res. Chin. U.)*, **2002**, *18*(3): 233~236
- [11] Clearfield A, Blessing R H. *J. Inorg. Nucl. Chem.*, **1972**, *34*: 2643~3663
- [12] Larson A C, Dreele V, Lansce R B. *Los Alamos National Lab, Los Alamos, NM*, **1994**.